

Fermis zweite Goldene Regel (Erschub)

Hamiltonoperator \hat{H}_{int} beschreibt Art und Stärke des Wechselwirkungspotentials.

ψ_i : WF des Anfangszustandes (i: initial)

ψ_f : " " Endzustandes (f: final)

Übergangsmatrixelement (Wahrscheinlichkeits amplitude)

$$M_{fi} = \langle \psi_f | \hat{H}_{int} | \psi_i \rangle = \int \psi_f^* \hat{H}_{int} \psi_i dV$$

Reaktionsrate hängt ab, wieviele Endzustände für Reaktionen offen stehen. Jedes Teilchen besetzt aufgrund der Heisenbergschen Unschärferelation im Phasenraum (sechsdimensionaler Raum (\vec{x}, \vec{p})

Impuls-Ortsraum) das Volumen $h^3 = (2\pi\hbar)^3$. Teilchen das im Volumen V und im Impulsbereich p' und $p'+dp'$ gestreut wird. Impulsraum entspricht einer Kugelschale

mit vol $4\pi p'^2 dp$

$$dn(p') = \frac{V \cdot 4\pi p'^2}{(2\pi\hbar)^3} dp'$$

Energie und Impuls sind (nicht relativ) durch Beziehung
 verknüpft $dE' = v' dp'$ (2)

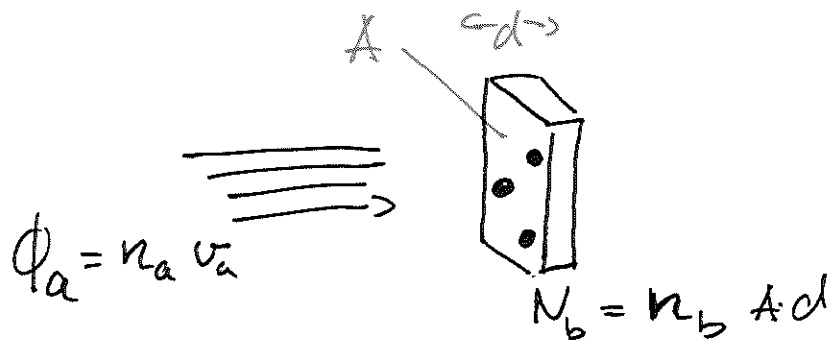
$$S(E') = \frac{dn(E')}{dE'} = \frac{V \cdot 4\pi p'^2}{v' (2\pi \hbar)^3}$$

$$\left(\begin{array}{l} E = \frac{1}{2} m v^2 \\ \frac{dE}{dv} = m v \\ \frac{dE}{dp} = v \end{array} \right)$$

Fermis G.R. verknüpft Reaktionsrate mit Übergangsmatrixelement
 und Dichte des Endzustandes

$$W = \frac{2\pi}{\hbar} |M_{fi}|^2 S(E')$$

W: Reaktionsrate pro Targetteilchen und pro einfallenden Teilchen



Reaktionsrate

$$\dot{N} = \phi_a N_b \sigma_b = n_a N_b v_a \sigma_b$$

$$\phi_a = n_a v_a \quad \uparrow$$

$$W = \frac{\dot{N}}{N_b N_a} = \frac{n_a N_b}{N_b N_a} v_a \sigma_b = \frac{v_a \sigma_b}{v}$$

$$\Rightarrow \sigma = \frac{2\pi}{t \sigma_a} |M_{fi}|^2 S(E') V$$

(3)

Ende Errechnung

mit Green'scher Theorem

$$\int (u \Delta v - v \Delta u) d^3x = 0 \quad ; \quad \Delta = \nabla^2$$

$$\text{und } e^{iqx/t} = -\frac{t^2}{|q|^2} \cdot \Delta e^{iqx/t}$$

$$\text{ist } \langle \psi_f | H_{int} | \psi_i \rangle = -\frac{e t^2}{V |q|^2} \int \Delta \phi(x) e^{iqx/t} d^3x$$

$$\text{Poissongleichung } \Delta \phi(x) = -\frac{\rho(x)}{\epsilon_0}, \quad \rho(x) = ze f(x)$$

$$\text{Normierte Ladungsverteilung } \int f(x) d^3x = 1$$

$$\Rightarrow \langle \psi_f | H_{int} | \psi_i \rangle = \frac{ze 4\pi \alpha t^3}{|q|^2 V} \int f(x) e^{iqx/t} d^3x$$

Das Integral

$$F(q) = \int e^{iq \cdot x / \hbar} f(x) d^3x$$

ist die Fouriertransformierte der normierten Ladungsverteilung.
 Enthält alle Informationen über räumliche Verteilung der Ladung des untersuchten Objektes

Rutherford: \odot Ladungsverteilung wird durch eine δ -Funktion beschrieben $\Rightarrow F(q) = 1$

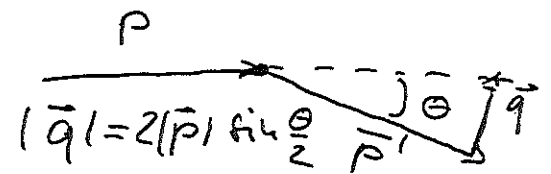
$$\frac{d\sigma}{d\Omega} = \frac{V^2 E'^2}{(2\pi)^2 (\hbar c)^2} |\langle \psi_f | \hat{H}_{int} | \psi_i \rangle|^2$$

Einsetzen des Matrixelements

$$\frac{d\sigma}{d\Omega} = \frac{4 z^2 \alpha^2 (\hbar c)^4 E'^2}{|q c|^4}$$

$$\propto \frac{1}{q^4}$$

\odot Rückstoß wird vernachlässigt
 $\Rightarrow E = E'$; $|\vec{p}| = |\vec{p}'|$



$$\frac{d\sigma}{d\Omega} = \frac{z^2 \alpha^2 (\hbar c)^2}{4 E^2 \sin^4 \frac{\theta}{2}}$$

(rel. Rutherford Streifenformel) $E \approx pc$

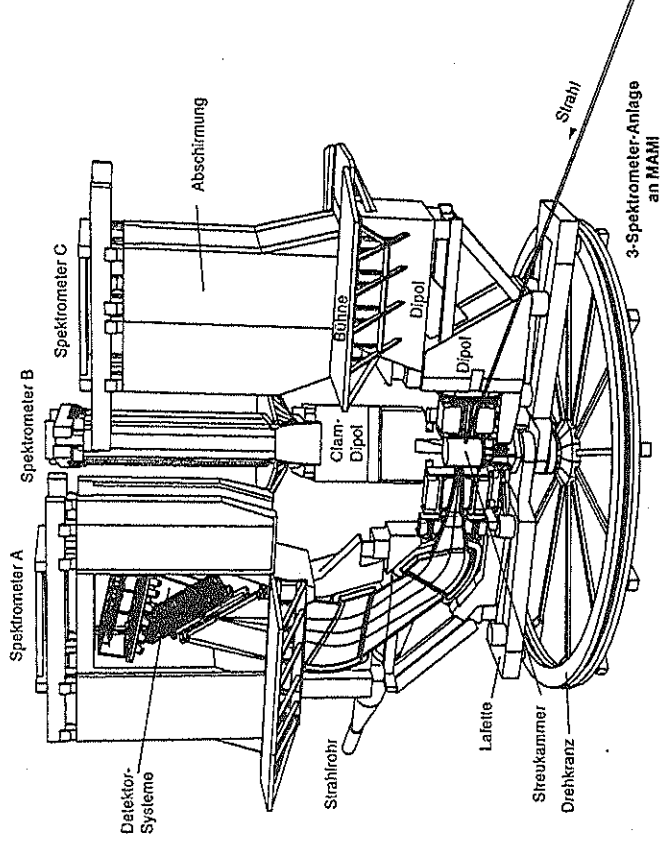


Abb. 5.4. Experimenteller Aufbau zur Messung der Elektronstreuung an Protonen und Kernen am Elektronenbeschleuniger MAMI-B (Mainzer Mikrotron). Die höchste erreichbare Elektronenenergie beträgt 820 MeV. In diesem Bild sind drei Magnetspektrometer gezeigt, die separat zum Nachweis elastischer Streuung und in Koizidenz zum detaillierten Studium der inelastischen Kanäle dienen. Das Spektrometer A ist aufgeschnitten gezeigt. Die gestreuten Elektronen werden durch zwei Dipolmagnete und mit Hilfe eines aus Drahtkammern und Szintillationszählern bestehenden Detektorsystems impulsanalysiert. Zum Größenmaßstab: der Durchmesser des Drehkranzes beträgt ca. 12 m. (Dieses Bild wurde von Arnd P. Liesenfeld (Mainz) hergestellt und uns freundlicherweise zur Veröffentlichung überlassen.)

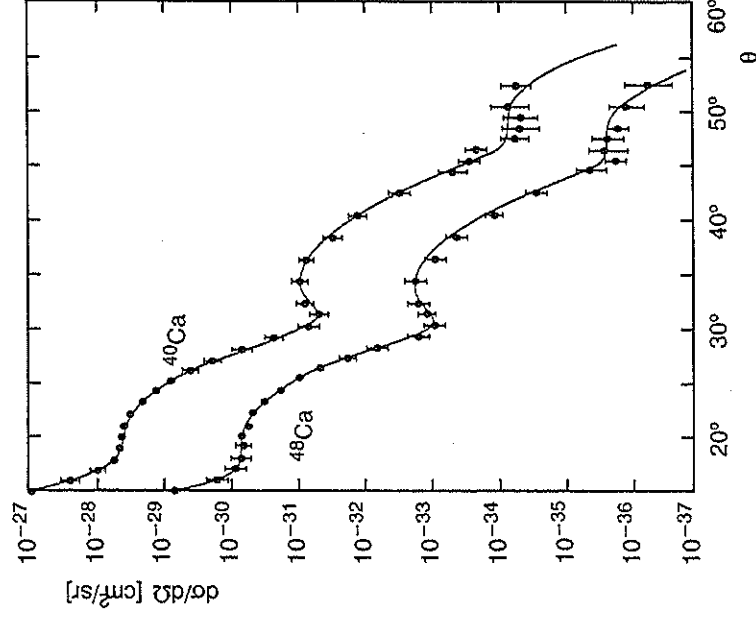


Abb. 5.7. Differentielle Wirkungsquerschnitte für die Streuung von Elektronen an den Kalziumisotopen ^{40}Ca und ^{48}Ca [Be67]. Zur besseren Darstellung wurde der Wirkungsquerschnitt für ^{40}Ca und ^{48}Ca mit 10^{-1} bzw. 10^{-1} multipliziert. Die durchgezogenen Linien entsprechen Ladungsverteilungen, die man an die Daten angepasst hat. Aus der Lage der Minima kann man sehen, dass der Radius von ^{48}Ca größer ist als der von ^{40}Ca .

Aus Povh

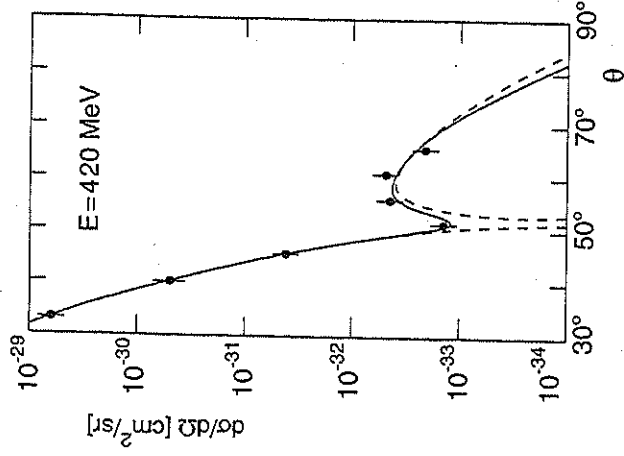


Abb. 5.5. Messung des Formfaktors von ^{12}C durch Elektronenstreuung (nach [Ho57]). Gezeigt ist der differentielle Wirkungsquerschnitt, der bei einer festen Strahlenergie von 420 MeV unter 7 verschiedenen Streuwinkeln gemessen wurde. Die gestrichelte Kurve entspricht dem Verlauf, der sich ergibt, wenn eine ebene Welle an einer homogenen Kugel mit diffusem Rand gestreut wird (Born'sche Näherung); die durchgezogene Kurve entspricht einer exakten Streuphasenanalyse, die an die Messdaten angepasst wurde.

aus Povh

Tabelle 5.1. Zusammenhang zwischen Ladungsverteilung und Formfaktor für einige kugelsymmetrische Ladungsverteilungen in Born'scher Näherung

Ladungsverteilung $f(r)$	Formfaktor $F(q^2)$
Punkt	konstant
exponentiell $(a^3/8\pi) \cdot \exp(-ar)$	$(1 + q^2/a^2\hbar^2)^{-2}$
Gauß $(a^2/2\pi)^{3/2} \cdot \exp(-a^2r^2/2)$	$\exp(-q^2/2a^2\hbar^2)$
homogene Kugel $\begin{cases} 3/4\pi R^3 & \text{für } r \leq R \\ 0 & \text{für } r > R \end{cases}$	$3\alpha^{-3}(\sin\alpha - \alpha\cos\alpha)$ mit $\alpha = q R/\hbar$ oszillierend

70 5. Geometrische Gestalt der Kerne

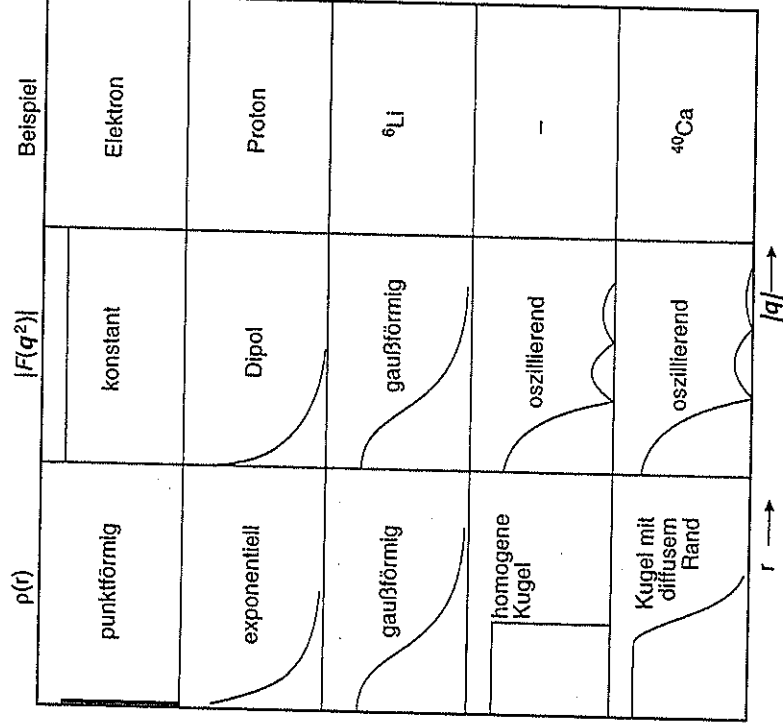


Abb. 5.6. Zusammenhang zwischen radialer Ladungsverteilung und Formfaktor in Born'scher Näherung. Einem konstanten Formfaktor entspricht eine punktförmige Ladung (z. B. Elektron), einem sogenannten Dipol-Formfaktor eine exponentiell abfallende Ladungsverteilung (z. B. beim Proton), einem gaußförmigen Formfaktor eine ebensolche Ladungsverteilung (z. B. ${}^6\text{Li}$ -Kern) und einem oszillierenden Formfaktor eine homogene Kugel mit mehr oder minder scharfem Rand. Alle Kerne, mit Ausnahme der ganz leichten, haben einen oszillierenden Formfaktor.

Aus Pösch

Inelastische Streuung

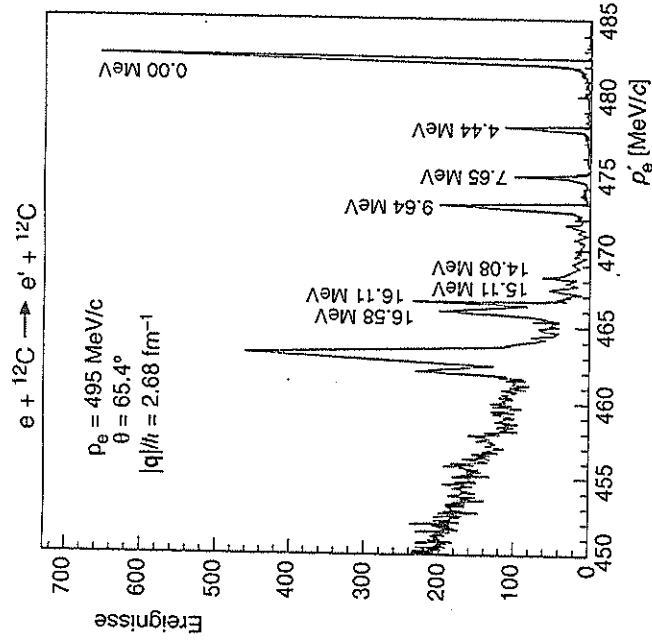


Abb. 5.9. Spektrum aus der Streuung von Elektronen an ^{12}C . Die scharfen Maxima entsprechen der elastischen Streuung bzw. der Anregung diskreter Energieniveaus im ^{12}C -Kern durch inelastische Streuung. Die Anregungsenergie des Kerns ist an den einzelnen Maxima angegeben. Die Elektronen wurden mit dem Linearbeschleuniger MAMI-B in Mainz auf 495 MeV beschleunigt und mit einem hoch auflösenden Magnetspektrometer (vgl. Abb. 5.4) unter einem Streuwinkel von 65.4° nachgewiesen. (Dieses Bild wurde uns freundlicherweise von Th. Watcher und G. Rosner, Mainz, zur Veröffentlichung überlassen.)

Formfaktoren des Nukleons (Elastische Streuung des Nukleons) (5)

Radiale Ausdehnung eines Nukleons $\approx 0,8 \text{ fm}$

$100 \text{ MeV} \approx 1 \text{ GeV}$ kinetisch, Nukleonmasse $938 \text{ MeV}/c^2$

liegt in gleicher Größenordnung

\Rightarrow Targetrückstoß kann nicht mehr vernachlässigt werden, Phasenraumvorteil muß berücksichtigt werden

$$\left(\frac{d\sigma}{d\Omega}\right)_{\text{rot}} = \left(\frac{d\sigma}{d\Omega}\right)_{\text{rot}}^* \cdot \frac{E'}{E}$$

~~Ausgangspunkt~~ Energieverlust des Elektrons bei Streuung nicht vernachlässigt werden. \Rightarrow Daher 3-Impulsübertrag muß

4-Impuls

$$q^2 = (\mathbf{p} - \mathbf{p}')^2 = \underbrace{p^2}_{(mc^2)} - 2\mathbf{p}\mathbf{p}' + \underbrace{p'^2}_{(mc^2)}$$

$$\mathbf{p} = \left(\frac{E}{c}, \vec{p}\right) \quad = 2mc^2 - 2\left(\frac{E E'}{c^2} - |\vec{p}| |\vec{p}'| \cos\theta\right)$$

$$|\mathbf{p}| \approx \frac{E}{c} \quad \approx \ominus \frac{4 E E'}{c^2} \sin^2 \frac{\theta}{2}$$

Um mit positiven Größen zu arbeiten $Q^2 := -q^2$

Magnetische Moment

Zusätzlich zur WW zwischen Ladung des Elektrons und Ladung des Kerns, muß WW zwischen Strom des Elektrons und dem magnetischen Moment des Nucleons berücksichtigt werden.

(6)

Magn. Moment eines geladenen Spin- $\frac{1}{2}$ Teilchens (ohne innere Struktur) (Dirac-Teilchen) ist

$$\mu = g \frac{e}{2m} \frac{\hbar}{2}$$

m = Masse des Teilchens

$g = 2$ aus rel. QM (Dirac Gleichung)

Analog bei Target mit Spin (Nucleon) : Bei Streuung um 0° sind Drehimpuls- und Helizitätserhaltung mit einander nicht vereinbar, da magn. WW mit Umkehr des Nucleonenspins verbunden ist
 \Rightarrow Streuung um 180° wird favorisiert

\Rightarrow magn. WW wird zusätzlich zu Term in GQ beschrieben, der $\sin^2 \frac{\theta}{2}$ enthält

$$\sin^2 \frac{\theta}{2} = \cos^2 \frac{\theta}{2} \tan^2 \frac{\theta}{2}$$

$$\left(\frac{d\sigma}{d\Omega}\right)_{\text{Full Spin}=\frac{1}{2}}$$

$$= \left(\frac{d\sigma}{d\Omega}\right)_{\text{voll}} \cdot \left[1 + 2\tilde{\epsilon} \tan^2 \frac{\Theta}{2} \right]$$

$$\tilde{\epsilon} = \frac{Q^2}{4\pi^2 c^2}$$

↑
magnetischer Term

Matrixelement d. WW $\sim \mu \sim \frac{1}{\hbar}$

Rückwärtsstreuung favorisiert \rightarrow Impulsübertrag $\rightarrow Q$